ANALYSE RADIOLOGIQUE POST OPERATOIRE DES FRACTURES DE L'extremite DISTALE DU RADIUS TRAITEES PAR L'EMBROCHAGE INTRA FOCALE TYPE KAPANDJI : A PROPOS DE 75 CAS

Kacimi Alaoui EM; Abid H; Elidrissi M; Elibrahimi A; Elmrini A

Service de Chirurgie Ostéoarticulaire B4, CHU Hassan II – Fès- Maroc Auteur Correspondant : Nom et prénom : KACIMI ALAOUI ELMEHDI

Abstract:

Le poignet est une région anatomique comprenant les articulations radiocarpienne et radio-ulnaire distale. Il correspond à l'extrémité distale des deux os de l'avant-bras liés entre eux comme un véritable cadre antébrachial. Ces articulations permettent l'orientation de la main dans l'espace (associées à la médiocarpienne). Le radius distal est au centre des systèmes et sa fracture en fonction de la forme anatomopathologique entraîne un retentissement fonctionnel sur les secteurs de flexions dorsale et palmaire et/ou sur la pronosupination. La fracture de l'extrémité distale du radius représente 10 à 15 % des fractures vues en urgence.

Les radiographies simples, pré et post opératoires réalisées en milieu hospitalier permettent l'analyse des fractures de l'extrémité distale du radius. Le diagnostic de la fracture est en général facile. Le but du traitement chirurgical est de réduire le plus anatomiquement possible la fracture et de la maintenir en diminuant au maximum les risques de déplacement secondaire. Le brochage intra-focal selon la technique décrite par Kapandji en 1976 est resté la méthode la plus utilisée. Notre étude rétrospective a pour but d'analyser les critères de réductions radiologiques sur les clichés radiographiques post opératoires des fractures de l'extrémité distale du radius traitées par l'embrochage intra-focale décrit par Kapandji. Durant cette période, on a répertorié 118 dossiers de patients opérés pour fracture de l'extrémité inférieur du radius. Au total 75 dossiers ont été retenus. Tous les patients ont bénéficié d'une radiographie de Face et de Profil en pré et en post opératoire. Aucune TDM n'a été réalisée dans notre série de cas. L'analyse clinicoradiologique comprenait la recherche de complications, la mesure des amplitudes articulaires, l'évaluation du score du DASH et du Score de Green et de O'brien. La classification adoptée est celle de Castaing reprise et complétée par Grumillier. L'âge des patients variait entre 18 et 82 ans avec une moyenne de 50 ans. L'étiologie la plus fréquente était la chute simple sur le poignet en hyperextension. Nous avons distingué quatre groupes de fractures distales du radius à bascule postérieure. L'ablation du matériel d'ostéosynthèse a été réalisée dans un délai moven de 7 semaines. La rééducation a été réalisée chez tous les patients dès l'ablation du plâtre, Le Quick DASHE Score était en moyen de 30,5 avec des extrêmes compris entre 25 et 50. L'index radio-ulanire : variait entre +4 mm et - 4mm avec une moyenne de 0 mm.La pente de la glène radiale de Face variait entre 10° et 25° avec une moyenne de 21.5°. La pente de la glène radiale de Profil variait entre 0° et 19°, sa valeur moyenne est de 8°. Les résultats obtenus semblent confirmer que cette technique permet un maintien de la réduction initiale plus fiable dans les six premières semaines en particulier. Elle permet donc une amélioration notable de la stabilité postopératoire à moyen terme et une diminution du raccourcissement (tassement) radial à long terme en conservant les avantages d'une technique percutanée facilement reproductible et peu délabrante. Mots clés: Radius, embrochage, Kapandji

Date of Submission: 02-02-2021 Date of Acceptance: 16-02-2021

I. Introduction

Le poignet est une région anatomique comprenant les articulations radiocarpienne et radio-ulnaire distale. Il correspond à l'extrémité distale des deux os de l'avant-bras liés entre eux comme un véritable cadre antébrachial. Ces articulations permettent l'orientation de la main dans l'espace (associées à la médiocarpienne). Le radius distal est au centre des systèmes et sa fracture en fonction de la forme anatomopathologique entraîne un retentissement fonctionnel sur les secteurs de flexions dorsale et palmaire et/ou sur la pronosupination.

DOI: 10.9790/0853-2002054757 www.iosrjournal.org 47 | Page

La fracture de l'extrémité distale du radius représente 10 à 15 % des fractures vues en urgence [1]. Considérée il y a peu de temps comme bénigne, elle pose de nombreux problèmes régulièrement débattus au fil des études anatomiques, radiologiques et cliniques. Elle est classiquement l'apanage des femmes âgées ostéoporotiques, mais actuellement elle intéresse de plus en plus le sujet jeune actif. Elle est rarement isolée et s'associe souvent à des lésions ulnaires ou carpiennes transformant cette lésion osseuse en un traumatisme plus complexe.

Les radiographies simples, pré et post opératoires réalisées en milieu hospitalier permettent l'analyse des fractures de l'extrémité distale du radius. Le diagnostic de la fracture est en général facile. Si un doute subsiste, il peut être utile de faire appel à des clichés de trois quarts ou à des tomographies. Les radiographies statiques permettent d'analyser la direction du déplacement, son importance, et de mesurer la bascule dans les plans frontal et sagittal, ainsi que le raccourcissement radial.

Des incidences controlatérales de face et de profil faites dans les mêmes conditions sont utiles pour apprécier la morphologie de l'extrémité distale du radius, les rapports radio-ulnaires distaux et pour servir de base au contrôle de la restitution anatomique après réduction.

Il est difficile d'énoncer des indications précises car les moyens thérapeutiques sont nombreux et le choix du traitement dépend de très nombreux éléments, difficiles à hiérarchiser. L'âge du patient, les caractéristiques anatomiques de la fracture, la qualité de l'os, les lésions ou les pathologies associées, la demande du patient dans sa vie quotidienne, et enfin, les habitudes du chirurgien lui feront préférer une technique à une autre.[2]

Le but du traitement chirurgical est de réduire le plus anatomiquement possible la fracture et de la maintenir en diminuant au maximum les risques de déplacement secondaire.

Le brochage intra-focal selon la technique décrite par Kapandji [3] en 1976 est resté la méthode la plus utilisée. En effet, il a proposé de faire pénétrer les broches par le trait de fracture, permettant ainsi d'obtenir de véritables « butées mécaniques externe et postérieure », empêchant le fragment épiphysaire de basculer, même en l'absence de contention complémentaire.

Notre étude rétrospective a pour but d'analyser les critères de réductions radiologiques sur les clichés radiographiques post opératoires des fractures de l'extrémité distale du radius traitées par l'embrochage intrafocale décrit par Kapandji.

II. Patients & Methodes:

L'étude rétrospective que nous rapportons dans ce travail a été réalisée au sein du service de Chirurgie ostéoarticulaire B4 du CHU Hassan II – Fès. L'analyse des dossiers a intéressé les patients ayant présenté au moins une fracture de l'extrémité distale du radius traitée par l'embrochage intrafocale décrit par Kapandji entre la période allant de Janvier 2017 jusqu'au Mars 2021. Durant cette période, on a répertorié 118 dossiers de patients opérés pour fracture de l'extrémité inférieur du radius. Les dossiers des fractures de l'extrémité distale du radius chez les patients moins de 18 ans, les dossiers des patients qui ont eu un traitement orthopédique, ainsi que ceux qui ont eu un traitement chirurgical autre que celui de l'embrochage décrit par KAPANDJI et les patients dont les dossiers étaient considérés comme 75 incomplets ont été exclus de l'étude. Au total dossiers ont été Tous les patients ont bénéficié d'une radiographie de Face et de Profil en pré et en post opératoire. Aucune **TDM** n'a été réalisée dans notre série L'analyse clinico-radiologique comprenait la recherche de complications, la mesure des amplitudes articulaires, l'évaluation score du DASH et du Score de Green et O'brien. classification adoptée est celle de Castaing reprise et complétée par Grumillier. La saisie et l'analyse des données ont été faites par les logiciels : Excel et Epi Info 7.2.2.

III. Resultats:

- L'âge des patients variait entre 18 et 82 ans avec une moyenne de 50 ans,
- La tranche d'âge qui était la plus touchée est celle comprise entre 40 et 65 ans,
- Le sexe féminin était légèrement prédominant,
- L'étiologie la plus fréquente était la chute simple sur le poignet en hyperextension avec un pourcentage avoisinant les 56%, suivie par les accidents de la voie publique,
- Le côté droit (côté dominant pour la plupart de nos patients) était le côté le plus touché avec un pourcentage de 64%,
- Nous avons distingué quatre groupes de fractures distales du radius à bascule postérieure :
- ** Fractures extra-articulaires:
 - o avec fracture du processus styloïde ulnaire : fracture de Gérard-Marchand (GM),
 - \circ sans fracture du processus styloïde ulnaire : fracture de Pouteau-Colles (PC) ;

- ** Fractures articulaires:
 - simples : fracture avec fragment postéro-médial (FPM),
 - o complexes: fractures articulaires en T (sagittal et/ou frontal).
- Les fractures extra-articulaires type Pouteau-Colles étaient les fractures les plus retrouvées : 50 cas,
- L'embrochage intra focale associant 3 broches de type Kapandji a été sollicité dans tous les fractures extraarticulaires de notre série, l'embrochage mixte (embrochage de type Kapandji associant une ou plusieurs broches) a été sollicité dans les fractures articulaires.
- En post opératoire :
- * Le délai postopératoire de sortie des patients était en moyenne de 2,0 jours (1-4 jours),
- * Tous les poignets ont été immobilisés systématiquement par une attelle plâtrée pendant 20 jours en moyenne,
- * L'ablation du matériel d'ostéosynthèse a été réalisée dans un délai moyen de 7 semaines,
- * La rééducation a été réalisée chez tous les patients dès l'ablation du plâtre,
- * 87.5 % des poignets opérés sont totalement indolores avec une force de préhension complète, permettant la reprise de l'activité antérieure sans modifications.
- * La réadaptation fonctionnelle est particulièrement rapide et spectaculaire puisque la récupération d'une gestualité courante est observée dans la moitié des cas avant le 15 ème jour.
- * Les activités antérieurs ont été reprises sans modification dans 95 % des cas , avant la sixième semaine pour la moitié des malades et pour 90 % avant le deuxième mois .
- * On pourra en particulier noter qu'a la sixième semaine, c'est à dire lorsque la fracture est solide : 90 % des patients ont retrouvé une gestualité courante ,45 % des malades opérés ont repris une activité sans modification par rapport à l'état antérieur ,45 % des manuels puissants reprennent le travail.
- * La cotation subjective laisse donc apparaître : 28% de très bons, 45% de bons résultats 20% de moyens et 7% mauvais résultats.
 - Résultat au Quick DASHE Score moyen : 30,5 avec des extrêmes compris entre 25 et 50,
 - Résultat au Green et O'brien Excellent : 15 cas Bon : 45 cas Moyen : 11 cas Médiocre : 4cas
- * La mobilité est cotée très bonne dans 55 % et bonne dans 21 % des cas contre moyens dans 14 % et 11 % mauvais résultats.
- * Concernant les mobilités actives comparatives :
 - La flexion active moyenne est de 64,1° (29-87°). Médiane : 66,5°. Elle correspond en moyenne à 85,8% (37,3-100%) de la flexion active Controlatérale.
 - Le déficit moyen de flexion par rapport au côté controlatéral est de 12,5° (0-55°).
 Médiane: 14°.
 - L'extension active moyenne est de 61,3° (35-85°). Elle correspond en moyenne à 85,7% (50-150%) de l'extension active Controlatérale. Le déficit moyen d'extension par rapport au côté controlatéral est de 9,6° (-19 42°).
 - La pronation active moyenne est de 81,2° (60-90°). Elle correspond en moyenne à 97,3 % (87,5 102,2%) de la pronation active controlatérale. Le déficit moyen de pronation par rapport au côté controlatéral est de 1,5° (-4 10°).
 - La supination active moyenne est de 84,7° (49 90°). Elle correspond en moyenne à 94,59 (57,8 120,6%) de la supination active controlatérale. Le déficit moyen de supination par rapport au côté controlatéral est de 4,1° (-20 35°).
 - L'inclinaison radiale active moyenne est de 15,5° (2-31°). Elle correspond en moyenne à 95,6% (48-250%) de l'inclinaison radiale active controlatérale. Le déficit moyen d'inclinaison radiale par rapport au côté controlatéral est de 1,5° (-10 12°).
 - L'inclinaison palmaire active moyenne est de 33,4° (14 49°). Elle correspond en moyenne à 89,6% (65,2 144,1%) de l'inclinaison palmaire active controlatérale. Le déficit moyen d'inclinaison palmaire par rapport au côté controlatéral est de 5,1° (-11 20°).
- Nous avons analysé les critères de réduction sur les radiographies de Face et de Profil en postopératoires immédiat et après l'ablation des broches (voir tableau récapitulatif) :
 - En post postopératoires immédiat :
 - * La pente de la glène radiale de Face :

variait entre 10° et 25° avec une moyenne de 21.49°.

* La pente de la glène radiale de Profil :

variait entre 0° et 14°, sa valeur moyenne est de 8,28°.

* L'index radio-ulnaire:

variait entre +4 mm et - 4mm avec une moyenne de -0,13 mm.

- En post postopératoires immédiat :
- * La pente de la glène radiale de Face :

variait entre 10° et 25° avec une moyenne de 21.34° avec un résultat BON.

La pente de la glène radiale de Profil

variait entre 0° et 14°, sa valeur moyenne est de 8,66° avec un résultat TRES BON.

L'index radio-ulnaire:

variait entre +4 mm et - 4mm avec une moyenne de -0,41 mm dans notre série avec un résultat jugé BON.

- * Marche d'escalier sur les clichés de Face et de Profil : 17 patients soit 22,6 % avaient une marche d'escalier articulaire sur leurs clichés de Face et de Profil en postopératoire.
- Concernant les complications : nous avons relevé 3 cas de cal vicieux, un cas de migration de broches, 2 cas de déplacement secondaire et un cas de paresthésie de la face dorsale de la main rentrant dans le cadre du syndrome d'irritation de la branche sensitive du nerf radial.

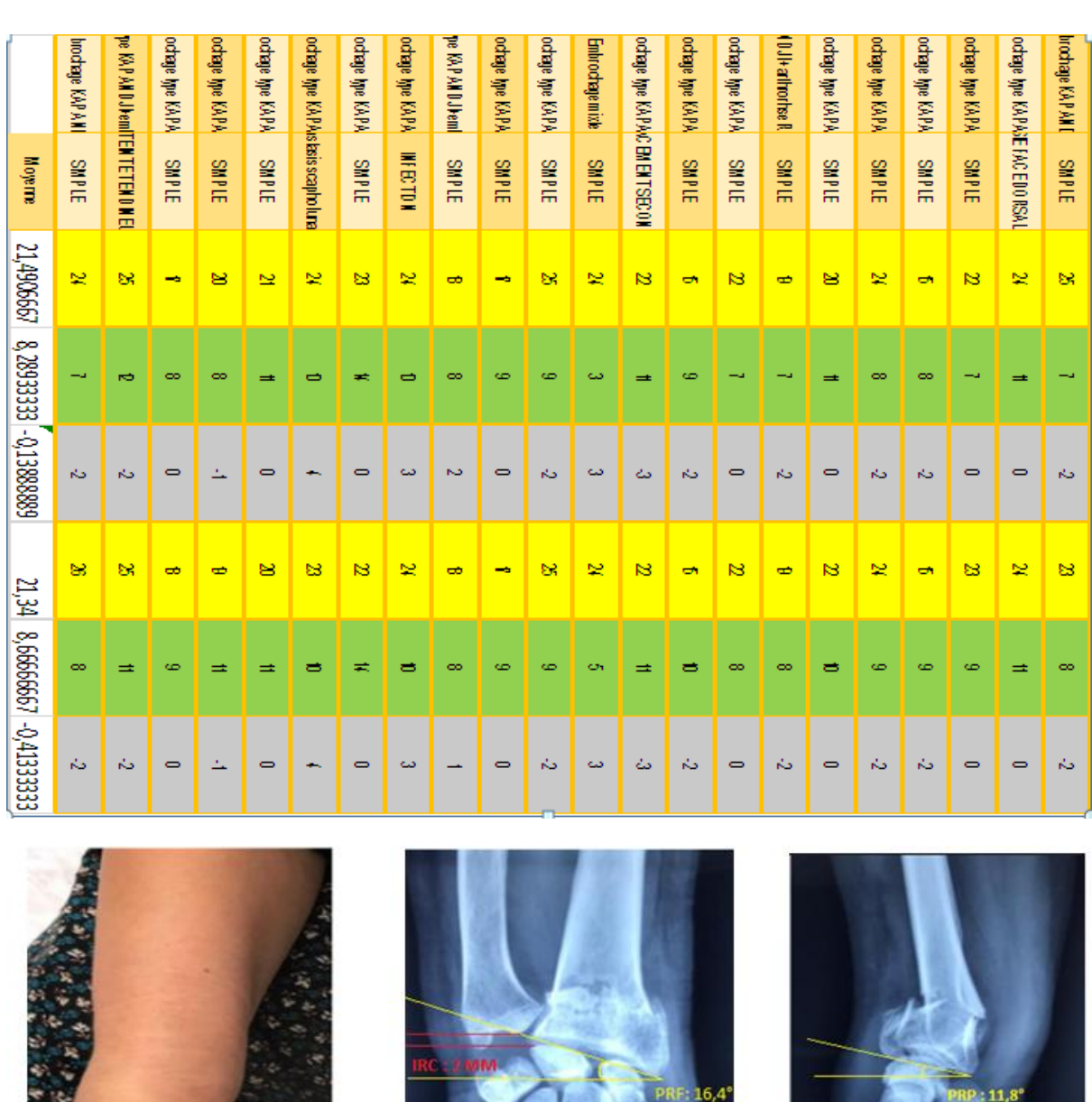
Tableau récapitulatif des observationsµ

AVP : accident de la voie publique – IFT : impotence fonctionnelle totale – GM : Gérard Marchant PRF : pente radiale de Face – PRP : pente radiale de Profil – IRC : index radio-cubital

SMPLE	ochage type KAPA	TYPE 12	EXTRA articulaire	toubur4FT-Dedem EXTRA articulais	D	AWP	Ξ	64	27
TIONCUTANEPA	ochage type KAPATION CUTANEPA	TYPE12	EXTRA articulaire	louleur#FT-Dedem EXTRA articulaire	6	AT	Ξ	27	26
SMPLE	ockage type KAPA	TYPE12	EXTRA articulaire	louleur#FT-Oedem EXTRA articulaire	D	AVP	Ξ	ಹ	26
Calvicieux	ockage type KAPA	TYPE12	EXTRA articulais	lo∎k∎r4FT+Đedem	6	AVP	Ξ	71	24
ARTHROSE	ochage type KAPA	TYPE9-0	EXTRA articulaire	orlerr#FT+Dedem EXTRA articulais	6	clinte	77	58	23
SMPLE	ochage type KAPA	TYPE 12	EXTRA articulaire	louleur-HFT-Dedem EXTRA articulais	D	AVP	Ξ	5	22
SMPLE	ochage type KAPA	TYPE 12	EXTRA articulaire	orlern/FT-Oedem EXTRA articulais	D	AT	Ξ	26	21
SMPLE	ockage type KAPA	TYPE 12	EXTRA articulaire	outeur4FT-Dedem EXTRA articulais	D	AVP	Ξ	51	20
SMPLE	ockage type KAPA	TYPE 12	EXTRA articulaire	loalearHFT+Oedem	6	clirte	Ξ	\$	*
SMPLE	ockage type KAPA	TYPE 12	EXTRA articulaire	outeur4FT-Oedem EXTRA articulais	D	chrite	Ξ	ಹ	88 8
Calvicieux	ockage type KAPA	TYPE 12	EXTRA articulaire	orlerr#FT+Dedem EXTRA articulais	D	clinte	-	82	9
SMPLE	ockage type KAPA	TYPE 12	EXTRA articulaire	outeur4FT-Oedem EXTRA articulais	D	chite	ī	ಹ	8
SMPLE	ockage type KAPA	TYPE12	EXTRA articulaire	orbur4FT-Oedem EXTRA articulais	0	AT	π	ಹ	하
SMPLE	ockage type KAPA	TYPE 12	EXTRA articulaire	outeur4FT-Oedem EXTRA articulais	0	AVP	Ξ	60	*
SMPLE	Embrockage mikite	TYPE9-0	EXTRA articulaire	orbur4FT-Oedem EXTRA articulais	D	chite	Ŧ	88	ದ
RATION DESIRO	blockage type kapeRATIDN DESBROO	TYPE12	EXTRA articulaire	louleur-HFT-Dedem EXTRA articulaire	D	AVP	Ξ	ಹ	R3
SMPLE	boolage type kape	TYPE9-0	EXTRA articulais	orberHFT-Oedem EXTRA articulais	9	chite	F	88	±
SMPLE	blockage type kape	type 5	EXTRA articulaise	lowberr#FT+Dedem	D	chrte	F	55	8
SMPLE	boolage type kape	type 3-4	Artica bire	loalear#FT+Dedem	D	chrte	Ξ	98	9
place me atsecoack	boolage type kapeplaceme itsecoid	TYPE 12	EXTRA articulaise	orlearHFT-Oedem EXTRA articulais	D	chrte	F	60	60
SMPLE	blockage type kape	TYPE9-0	EXTRA articulaire	outeur-HFT-Dedem EXTRA articulaite	0	AVP	Ξ	56	7
TEINTE TENDINE	bockage type kapeTEINTETENDNEI	TYPE12	EXTRA articulaire	orbar4FT-Oedem EXTRA articulais	D	AT	Ξ	24	6
SMPLE	blockage type kape	TYPE12	EXTRA articulaire	lo∎le∎r#FT+Đedem	D	chrte	Ţ	98	64
SMPLE	4 Hixatioiscapho kapaidj⊬e mb noch	.4 Hixatio∎ scapho	Artica bire	loalear#FT-Dedem	D	chite	F	54	*
SMPLE	ockage type KAPA	TYPE12	EXTRA articulaire	orberHFT-Oedem EXTRA articulair	D	AVA	ī	37	ယ
ARTHROSE	ochage type KAPA	GM.	ne +samachem e∎tde	onen HFT-Oedemie -tamachement de	D	Chrite	F	61	₽
SMPLE	ġe intanfocaltγpe k	TYPE12	EXTRA articulaire	lo∎le∎r#FT+Đedem	6	Chris	T	53	-
Evolution	Traitement	Type	racture articulaire ou non	Clinique	Cote atteint	Etiologie	Se se	Age	Patients

	8	88	83	20	ಹ	22	29	20	8	B	ಪ	88	22	88	27	24	22	z	21	z	24	22	#	23	22	20	8	PRF	ı
	9	ы	9	-	-	00	O1	0	-	6	2	00	80	9	9	B	ы	00	0	7	2	80	0	7	9	п	=	PRP	l
	0	0	<u> </u>	22	0	ι'n	-	<u>.</u>	0	-	ယ	_	-2	<u> </u>	<u>.</u>	٠	0	<u>.</u>	0	డు	0	2	<u>.</u>	0	0	-	0	RC	l
	20	84	23	21	6	23	26	20	Ð	23	5	ĸ	23	28	B	B	21	22	21	23	23	22	0	23	=	22	88	P+NON67RF	ſ
	9	Б	0	S	O1	~	O1	8	-	6	2	00	60	0	9	B	22	00	0	7	2	9	0	8	9	=	8	PRP	
	0	0	<u>-</u>	22	0	rls	-	<u></u>	0	-	ш	_	ź	<u>.</u>	<u>.</u>	٠	0	_	0	చ	0	2	<u>_</u>	0	0	_	0	IRC	
	53	52	51	50	49	4.		ė;	46	45	4	43	42	<u>+</u>	46	2	3 0	ట	37	36	35	34	బ	63	3	31		30	29
						Т	T	i							Г	T	i								T				
	56	68	8	75	55	25	9	2	22	63	25	88	67	8	88	2	2	54	63	88	8	68	88	92	1	73		88	90
ľ	-	-	-	-	-	=	=	=	=	-	=	-	-	=	-	-	=	-	-	=	=	-	-	-		-		-	-
ľ	drule	AVP	chule	drule	AVP	ΑT	711	AV/P	AVP	chule	AVP	chule	chule	AVP	chule	MAL	A)/D	AVP	drule	chule	λT	chule	chule	drule		chule		AVP	allie
ľ	0	0	D+G	6	-	0		n.	0	0	6		0	6	6	-	-	0	0	0	0	6	6	G	,	D+G		-	-
	ouleur+ FT+O ed e	ouleur+FT+0 ed e	ouleur+ FT+0 ed e	ouleur+ FT+0 ed e	ouleur+FT+0 ed e	ouleur+FT+0 ede	Outcome I no conc	orders # Tafforde	ouleur+ FT+0 ed e	ouleur+ FT+0 ed e	ouleur+FT+0 ed e	ouleur+ FT+0 ed em	ouleur+ FT+0 ed e	ouleur+ FT+0 ed e	ouleur+FT+0 ede	One Or I when o	orderes E Tancado	ouleur+ FT+0 ed e	ouleur+ FT+0 ed e	ouleur+FT+0 ede	ouleur+FT+0 ed e	ouleur+ FT+0 ed e	odeu+FT+0 ede	ouleur+1 +0 ede	Outdoor I no out	ordered Tabledem		ouleur+ FT+0 ed e	abanet 4enano
	F+0 edem EXTRA articulaire	ouleur+FT+0 edem EXTRA articulaire	ouleur+FT+0 ed em EXTRA articulaire	ouleur+FT+0 ed em EXTRA articulaire	ouleur+FT+0 ed em EXTRA articulaire	ouleur+ FT+0 ed em EXTRA articulaire	Dallo dillodd	orderes FT40 adam EXTRA policydaire	ouleur+FT+0 ed em EXTRA articulaire	ouleur+ IT 140 ed em EXTRA articulaire	ouleur+FT+0 edem ^r e+arrachemenide	m Arliculaire	ouleur+ITT+0 ed em EXTRA articulaire	ouleur+FT+0 ed em EXTRA articulaire	ouleur+FT+0 ed em EXTRA articulaire	oded+1 1-oesell EVIIOV dilionale	EVTD à celiculaire	ouleur+ II T+0 ed em EXTRA articulaire	ouleur+ II T+0 ed em EXTRA articulaire	ouleur+FT+0 ed em EXTRA articulaire	ouleur+FT+0 edem EXTRA articulaire	ouleur+FT+0 ed em EXTRA articulaire	odeur+FT+0 edem EXTRA articulaire	ouleur+11+0 edem EXTRA articulaire		EXTRA articulaire		ouleur+17+0 edem EXTRA articulaire	a remaine young illegated a sharp
Г	e lype3-4	e TYPE 12	e TYPE 12	e TYPE 12	e TYPE 12		Т	П	e lype3-∔	e TYPE 12	e GM	TYPE940	e TYPE 12	e TYPE 12		Т	П	e TYPE 12	e TYPE 12	e TYPE 12	e TYPE 12	e TYPE 12	e TYPE9-10	e TYPE 12	Т	e TYPE 12	П	e TYPE12	e TYPE 12

Embrochage mixte TENTETEND IN EL	ochage type KAP A	ochage type KAP A	ochage type KAP A	A P A N DJ He mbrooks lasis scapho luna	ochage type KAP A	ochage (sp.e KAP)	ochage type KAP A	ochage type KAP A	ochage type KAP A	ochage lype K۸P A	ochage type KAPA,CEMENTSECON	ochage type KAPA	ochage type KAP A	(DJ I+ arithrorhse R	ochage type KAP A	ochage type KAP ^A istasis scapholuna	ochage type KAP A	ochage type KAPA	ochage type KAPA	Embrochage mixte	ochage type KAP A	ochage /pe KAP /	ochage type KAPA	ochage type KAP Ahésie face dorsale	ochage type KAP A
TENTETEND IN EL	SMPLE	SMPLE	SMPLE	stasis scapho luna	SMPLE	INFECTION	SMPLE	SMPLE	SMPLE	SMPLE	CEMENTSECON	SMPLE	SMPLE	SMPLE	SMPLE	slasis scapho luna	SMPLE	SMPLE	SMPLE	SMPLE	SMPLE	SMPLE	Calvicieux	hésie face dorsale p	RAIDEUR
z	8	6	22	20	24	24	8	20	5,8	36	22	8	22	в	21	24	6	13	23	23	13	88	B	20	21
ъ	00	80	=	0	*	Ð	80	9	10	သ	=	9	7	7	=		ω	7	0	2	ω.	9	Đ	2	~
ź	0	ń	0	-	0	*	2	0	2	ω	చ	ź	0	ń	0	+	ń	0	ź	0	ń	0	0	-	0
22	В	os.	20	6,5	24	23	8	21	ಹ	26	22	8	22	ø	21	25	জ	22	23	23	22	28	25	20	20
8	9	9	8	8	rs	±	9	8	ᄚ	cs.	8	8	6	00	8	7	ω		=	rs	00	9	8	2	7
	75	4	: :	73	72	71	70	69	68	: :	67	99	65	64	63	: :	62	61	60	59	58	57	56	55	54
	ಜ	8	3 8	ŝ	83	ಚ	ŧ	88	হ	1 !	23	ස	28	88	ĝ	: 8	33	88	#	য়	88	83	ేస	শ্র	ස
		-		-	-	=	-		=			=	-	=	=				=	-	-	=		-	-
	AVP	Chule	2 2	đሊያ	drule	AVP	drule	ΑT	AVP		ΑVP	chule	АУР	drule	drule	or each	chule B	drule	AVP	АУР	AVP	drule	АT	drule	chule
	ဝ	-	, ,	-	_	6	G	-	-	, ,	=	G	_	-	6		s .	ဝ	0	G	D	0	0	0	6
	ouleur+IFT+0 eden	outeur+It I+Deden	Oddodini i oddod	ordorr+IF T#1 odom	ouleur+IFT+0 edem	ouleur+IF T+0 edem	outeur+IFT+0 edem	outeur+IFT+0 edem	outeur+IF I+D eden	October 11 Control	outeur+IFT+O edem	ouleur+IFT+0 edem	ouleur+IFT+0 edem	ouleur+lf T+0 edem	ouleur+IF T+O eden	October 1 1 Control	outeur+IFT+Oedem	ouleur+IFT+0 edem	ouleur+IFT+0 edem	ouleur+IFT+0 edem	ouleur+IFT+0 eden	ouleur+IF T+0 eden	ouleur+IFT+0 edem	ouleur+IFT+0 edem	ouleur+IF T+0 eden
	ouleur+IFT+0 edem EXTRA ar footaire	outeur+IF1+Uedem EX1KA articulare	Delivers	outourelli Talladom EXTR à anticulaire	ouleur+IFT+0edem EXTRA ar foulaire	odeu+lf T+0 edem EXTRA ar fodaire	ouleur+IFT+0 edem EXTRA ar footaire	odeu+lf T+0 edem EXTRA ar fodaire	ouleur+IFT+U edem EXTRA ar houlaire	Deliver and a second	outeur+16 T+0 edem EXTB A an fortaire	odeu+IFT+0 edem EXTRA ar fodaire	ouleur+IFT+0 edem ^t e +arrachemen1 de	n Arfadaire	ouleur+IFT+0 edem EXTRA ar foulaire	Donner of the second	outeur+IFT+Oedem EXTB Alar fortaire	ouleur+IFT+0 edem EXTR.A ar foulaire	outeur+1FT+0 edem EXTRA ar foutaire	odeu+lf T+0 edem <mark>-</mark> EXTRA ar foolaire	ouleur+If T+0 edem EXTRA ar foolaire	odeu+IFT+0 edem EXTRA ar fodaire	ouleur+lfT+0 edem EXTRA ar footaire	ouleur+IFT+0 edem EXTR.A ar foulaire	odeu+lf T+0 edem EXTRA ar fodaire
	TYPE12	Mpe 3-4		TVPEU	TYPE12	TYPE12	TYP E 12	TYPE12	TYPE12	Jpa o r	kno 3.4	TYPE12	GH	TYPE9-10	TYP E 12	111	TVPE42	TYPE12	TYPE12	TYP E 12	TYPE12	TYPE12	TYPE12	TYPE12	TYPE12





(a) (b) (c)
(a): Photo clinique d'un poignet droit tuméfié et déformé en dos de fourchette
(b) & (c): Radiographies du poignet de Face et de Profil montrant une fracture extra articulaire de l'extrémité distale du radius à bascule postérieure avec un diastasis scapho-lunaire.





(d) (e)
(d) & (e): Radiographies de contrôle Face et Profil immédiat après l'embrochage intra-focale type
Kapandji et mise en place d'une broche scapho-lunaire.





(f) & (g): Radiographies de contrôle Face et Profil à 6 semaines





(h) & (i): Radiographies de contrôle Face et Profil après l'ablation des broches. Notez la déminéralisation et l'amincissement des corticales évoquant le début de l'algodystrophie.

IV. Discussion:

- L'âge dans la plupart des séries se rapproche de 60 ans. La moyenne d'âge dans notre série (50 ans) rejoint celle des séries de E.LENOBLE [5], TH.JUDET [6] et G.R.SENNWALD [7]. La jeunesse de la population marocaine explique l'âge ieune - Dans notre série la fracture de l'extrémité distale du radius était l'apanage de la femme âgée ostéoporotique qui présente de nombreux facteurs de risque de chute et qui chute à répétition ceci concorde avec les résultats des séries de : DESMANET [8], DELAITRE [9], LECESTRE [10]. Le patient jeune quant à lui pratiquant des activités mettant en jeu de hauts niveaux d'énergie (sport mécanique, ski) ou subissant un accident à haute énergie (AVP). Sa fracture est alors souvent complexe : fracture comminutive voire éclatement plus métaphysoépiphysaire nécessitant une ostéosynthèse le souvent par une - Notre série ainsi que la majorité des séries de la littérature, T.FIKRY [11], L.KERBOULL [12] montrent que le coté dominant était le coté le plus affecté. Dans notre cas le coté droit était le plus touché. - Les fractures par compression extension de Pouteau-Colles : CASTAING [13] souligne la fréquence du tassement postérieur créant un vide post-réductionnel. Le déplacement peut être postérieur pur, postéro-externe avec translation du coté radial ou axial. Les fractures à trait horizontal sont plus stables que les fractures à trait oblique vers le haut et vers l'arrière. Ce type fracturaire constitue 32.4% de la série de JUDET [14] et 48 % de la série d'EBLIN [15] dans notre série le taux des fractures de Pouteau colles s'élève à 50 %. - L'analyse des radiographies de notre série de cas nous a permis de dégager trois sièges possibles du trait sus articulaires : fracture haute, intermédiaire et basse. Nous avons constaté que le trait intermédiaire est le plus fréquent (70%). Nous pensons que cette fréquence serait due à l'existence d'une zone de transition à la limite de l'épiphyse radiale rigidifiée par la tête ulnaire ainsi que l'existence de changement de courbure épiphysométaphysaire radius. À la radiographie simple · L'index radio-ulnaire ou variance ulnaire est le témoin du raccourcissement du radius qui accompagne la plupart des fractures de l'extrémité distale du radius. C'est un important indice de gravité. La variance ulnaire

• L'index radio-ulnaire ou variance ulnaire est le témoin du raccourcissement du radius qui accompagne la plupart des fractures de l'extrémité distale du radius. C'est un important indice de gravité. La variance ulnaire normale est négative (ulna plus courte que le radius de 0,9 mm en moyenne), avec un écart-type de 1,5 mm [16]). Herzberg G [17] et al admet une valeur normale ou acceptable jusqu'à 2 mm de variance positive. Dans notre série la moyenne de la variance ulnaire était 0 mm. D'après VICHARD [18] et MORTIER et coll [19], l'annulation ou l'inversion de la variance ulnaire suppose soit qu'il y a un tassement de l'épiphyse radiale, soit

une ascension globale de celle-ci. KAPANDJI [3], FRIOL [20] et DELATRE et coll [8], notent que l'inversion de la variance ulnaire est un signe radiologique qui signifie l'impaction épiphysaire radiale par tassement du spongieux, créant une "chambre" de raréfaction osseuse. Ainsi, la variance ulnaire évalue l'ascension qui résulte de la comminution totale ou postérieure et qui implique l'atteinte de l'articulation radio ulnaire distale.

- La pente de la glène radiale ou inclinaison frontale (coronale) : est l'angle compris entre la perpendiculaire au grand axe du radius et la ligne unissant la pointe du processus styloïde radial à l'extrémité médiale de la surface carpienne du radius. valeur moyenne Sa est G. Herzberg [21] admet comme valeurs normales ou acceptables des chiffres compris entre 15° et 30°. Dans notre 21.5°. série la moyenne était simple Profil partir la radiographie de poignet: de du
- La pente de la glène radiale de Profil ou pente sagittale : est l'angle compris entre une perpendiculaire à l'axe du radius et une droite unissant ses berges antérieure et postérieure de la facette lunarienne. Sa valeur moyenne est de 11° [22]. G. Herzberg [21] admet comme valeurs normales ou acceptable des chiffres compris entre 08° et 15°. À noter que la berge antérieure de l'extrémité distale du radius a une forme de « U » oblique (« larme » ou « tear drop » des anglo-saxons [22]). L'axe de ce « U » fait normalement un angle d'environ 70° par rapport à l'axe diaphysaire. Cette saillie est constante radiologiquement. Elle correspond au bord antérieur saillant de la facette lunarienne de l'extrémité distale du radius [23]. Ce repère radiologique à bien connaître peut être altéré en cas de fracture avec impaction ou subluxation antérieure. Dans notre série de cas la valeur glène moyenne de la. pente de la radiale était Ces résultats radiologiques rejoignent ceux déjà publiés dans les techniques de brochages trans-styloïdiens purs qui semblent mieux prévenir le raccourcissement radial LENOBLE ET AL [24]. Ils correspondent aussi à ceux de DELATTRE ET AL. [8] Gravier [25] qui constataient moins d'hypo réduction à consolidation avec un brochage
- Concernant les complications : les cals vicieux compliquent un embrochage en cas de montage instable, de déplacement secondaire, de grande communition ou de réduction insuffisante. Leur prévalence est variable dans la littérature ; elle est plus élevée en cas de traitement orthopédique [26]. La correction du cal vicieux intra articulaire est difficile à réaliser. KOZIN ET AL [27] a montré, dans une étude cadavérique, que le cal vicieux du radius distal est responsable du raccourcissement et diminution de l'inclinaison du radius. L'atteinte de la branche sensitive du nerf radial semble corrélée au type de traitement chirurgical. En effet, dans la littérature, lorsqu'un traitement orthopédique est réalisé, son taux de survenue est quasi nul [28]. Lorsqu'il s'agit d'un traitement par embrochage, son taux est plus élevé du fait de la localisation du point d'introduction des broches sur la zone d'émergence du nerf radial. Les auteurs proposent de réaliser une voie d'abord à ciel ouvert pour permettre l'introduction des broches en évitant la technique percutanée pure.

V. Conclusion:

Les fractures de l'extrémité distale du radius ont longtemps été considérées comme des lésions bénignes. Contre ce fait est la multiplicité des classifications qui sont le témoin de la difficulté d'évaluation de lésions déterminantes le pronostic. Il est maintenant admis que les séquelles fonctionnelles sont fréquentes et que le pronostic à long terme ne dépend pas uniquement de la qualité de réduction osseuse, mais principalement des lésions du secteur radio ulnaire inférieur. L'objectif de notre étude était d'évaluer la technique d'embrochage intra focal décrit par Kapandji en analysant les critères de réduction des fractures de l'extrémité distale du radius sur les radiographies post opératoires immédiates et après l'ablation des broches.

Les résultats obtenus semblent confirmer que cette technique permet un maintien de la réduction initiale plus fiable dans les six premières semaines en particulier. Elle permet donc une amélioration notable de la stabilité postopératoire à moyen terme et une diminution du raccourcissement (tassement) radial à long terme en conservant les avantages d'une technique percutanée facilement reproductible et peu délabrante.

References

- [1]. Owen RA, Melton LJ, Johnson KA, Ilstrup DM, Riggs BL Incidence of Colles' fracture in a North American community. Am J Public Health 1982; 72:605-607
- [2]. Mann FA, Kang SW, Gilula LA Normal palmar tilt : is dorsal tilting really normal ? J Hand Surg 1992 ; 17B : 315-317
- [3]. KAPANDJI A. L'embrochage intra-focal des fractures de l'extrémité inférieure du radius dix ans après. Ann Chir Main, 1987, 6, 57-63
- [4]. Th.Judet;P.Piriou;E.de Thomasson. Traitement orthopédique des fractures de Pouteau colles selon R.Judet Fractures du radius distale (Cahier d'enseignement de la SOFCOT 1998)
- [5]. E.lenoble. C.Dumontier. étude prospective comparative du brochage trans-styloidien et intrafocal dans le traitement des fracctures de l'éxtrémité distale du radius. Fractures du radius distal de l'adulte (Cahier d'enseignement de la SOFCOT 1998)
- [6]. G.R. Sennwald, D. Della Santa La fracture instable du radius distal et son traitement: comparaison de trois méthodes reconnues: fixateur externe, embrochage centromédullaire et plaque AO. Chirurgie de la Main 2001; 20: 218-25
- [7]. Desmanet, E. (1995). Osteosynthesis of the radius by flexible double pinning: functional treatment of distal radial fracture in 130 consecutive cases. Fractures of the distal radius. 1st ed. London: Martin Dunitz, 62-70.

56 | Page

- Delattre, O., Saillant, G., Lemoine, J., Benazet, J. P., & Roy-Camille, R. (1994). Réduction et synthèse par brochage des fractures [8]. du poignet: étude comparative entre la technique de Kapandji et la technique de Py. Revue de chirurgie orthopédique et réparatrice de l'appareil moteur, 80(2), 94-107.
- Lecestre, P., VEYA, K., Delplace, J., & Arnaout, A. (1988). Fractures de l'extrémité inférieure du radius traitées par la méthode de [9]. Kapandji. Analyse de 100 cas. In Annales de chirurgie (Vol. 42, No. 10, pp. 756-769). Elsevier.
- [10]. T.Fikry et all. Fractures métaphysaires du radius distal, embrochage de Kapandji ou de Py. Annale de chirurgie de la main et du membre supérieure. 17. N°: 1 1998
- [11]. L.Kerboull et all. Ostéosynthese par plaque des fractures marginale anterieure du radius distal Fracture du radius distal de l'adulte (Cahier d'enseignement de la SOFCOT 1998)
- [12]. CASTAING J: Fractures récentes de l'extrémité inférieure du radius. Rev Chir Orthop, 1964, 50, 581-696
- [13]. Th.Judet; P.Piriou; E.de Thomasson. Traitement orthopédique des fractures de Pouteau colles selon R.Judet Fractures du radius distale (Cahier d'enseignement de la SOFCOT 1998)
- [14]. M. Eblin et all. Brochage elastique selon la téchnique de Py dans les fractures du radius distal Fractures du radius distal de l'adulte (Cahier d'enseignement de la SOFCOT 1998)
- Schuind FA, Linscheid RL, An KN, Chao EY. A normal data base of posteroanterior roentgenographic measurements of the wrist. J [15]. Bone Joint Surg Am 1992;74:1418-29.
- Herzberg G. Acute distal radius fractures: PAF analysis. J Wrist Surg 2013;2:95-6. [16].
- [17]. VICHARD. PU GAGNEUX. E, RIDOU X. P.E La place de l'ostéosynthèse à la plaque console postérieure dans le traitement des
- fractures de l'extrémité inférieure du radius par compression extension. Ann. Chir. Main. 1994, 13: 87-100.

 MORTIER. J.P, BAUX. S, UHL. J.F, MIMOUN. M, NIOLE. B. 12 Importance du fragment postéro interne et son brochage [18]. spécifique dans les fractures de l'extrémité inférieure du radius. Ann. Chir. Main. 1983, 2, 3: 219-229
- [19]. FRIOL. J.P, CHAISE. F, GAISNE. E. 14 Les cals vicieux de l'extrémité inférieure du radius. Ann. Chir.1994, 48, 1: 82-87.
- [20]. G. Herzberg *, M. Burnier Radiological analysis of acute distal radius fractures and clinical outcomes Hand Surgery and Rehabilitation 35S (2016) S15-S23
- Medoff RJ. Essential radiographic evaluation for distal radius fractures. Hand Clin 2005;21:279-88. [21].
- [22]. Andermahr J, Lozano-Calderon S, Trafton T, Crisco JJ, Ring D. The volar extension of the lunate facet of the distal radius: a quantitative anatomic study. J Hand Surg Am 2006;31:892-5.
- [23]. LENOBLE E, DUMONTIER C, GOUTALLIER D, APOIL A . Fracture of the distal radius. À prospective comparisonbetweentrans-styloïd and Kapandji fixations. J Bone Joint Surg (Br), 1995, 77, 562-567.
- [24]. Gravier, R., Flecher, X., Parratte, S., Rapaie, P., & Argenson, J. N. (2006). Brochage mixte trans-styloidien et intrafocal dans les fractures extra-articulaires en extension du radius distal: Étude prospective randomisée de la stabilité postopératoire comparativement au brochage intra-focal simple. Revue de chirurgie orthopédique et réparatrice de l'appareil moteur, 92(7), 657-662.
- [25]. Goubier, J. N., Zouaoui, S., & Saillant, G. (2001). Les complications des fractures du radius distal. RevChirOrthopReparatrice, 87, 118.
- [26]. : Kozin, S. H., & Wood, M. B. (1993). Early soft-tissue complications after distal radius fractures. Instructional course lectures, 42,
- Frykman, G. (1967). Fracture of the Distal Radius Including Sequelae-Shoulder-Handfinger Syndrome, Disturbance in the Distal [27]. Radio-Ulnar Joint and Impairment of Nerve Function: A Clinical and Experimental Study. Acta OrthopaedicaScandinavica, 38(sup108), 1-61.